

## РАСЧЕТ ПЛАВНОГО МНОГОВОЛНОВОГО ПРЯМОУГОЛЬНОГО ВОЛНОВОДНОГО ПЕРЕХОДА

B. B. Должиков

На практике в тех случаях, когда необходимо пропустить большую мощность или иметь широкую полосу пропускания, часто используют волноводы с размерами, допускающими распространение высших типов волн [1]. Поскольку такие волноводы в начале и конце тракта соединяются со стандартными волноводами, то на волноводные переходы должно быть наложено условие обеспечения малых потерь основной волны

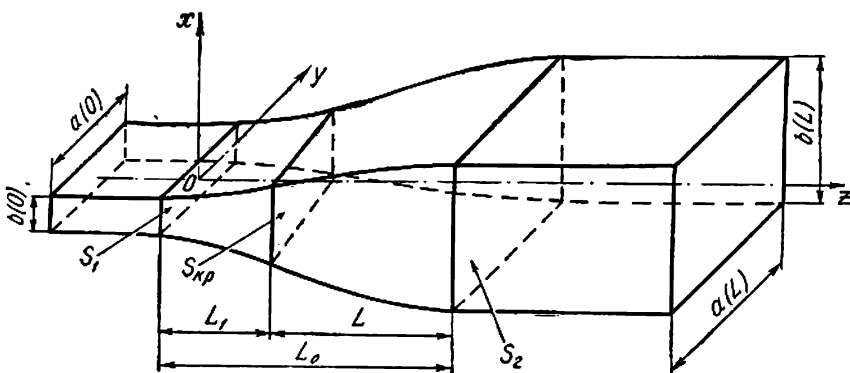


Рис. 1. Плавный волноводный переход.

на преобразование в высшие типы волн. В работе [2] предложен плавный волноводный многоволновый переход, обеспечивающий минимальные потери основной волны на преобразование в ближайшие паразитные типы волн. Однако его расчет осуществлялся в предположении, что размеры обоих волноводов далеки от критических для паразитных волн, а это не всегда бывает на практике.

В настоящей работе получен плавный волноводный переход, соединяющий два прямоугольных волновода с подобными сечениями. Расчет производился с учетом близости критического сечения для ближайшей паразитной волны.

Пусть необходимо осуществить переход между двумя прямоугольными волноводами с подобными сечениями S<sub>1</sub> и S<sub>2</sub>. Вдоль оси z распространяется основная волна H<sub>10</sub>. Размеры правого волновода допускают распространение ближайших паразитных волн, которыми в этом случае, согласно [3], будут E<sub>12</sub>, H<sub>12</sub>. Предположим, что S<sub>KP</sub> есть критическое сечение для этих

паразитных волн. Таким образом, весь переход можно разделить на две части. Первая между  $S_1$  и  $S_{kp}$ , здесь основные потери будут за счет отражения основной волны, на втором участке  $S_{kp}—S_2$  основную роль будут играть потери на преобразование в  $H_{12}, E_{12}$ . Поэтому целесообразно рассчитывать первую часть из соображений получения минимального коэффициента отражения  $\rho$ , а вторую — из обеспечения минимальных потерь основной волны на преобразование в  $H_{12}, E_{12}$ , т. е. вторая часть всего перехода будет многоволновым переходом. Расчету подобного волноводного перехода, т. е. перехода, соединяющего два волновода с сечениями  $S_0$  и  $S_2$ , из которых  $S_0$  близко к критическому сечению, и посвящена данная работа.

Необходимо рассчитать переход между  $S_0$ , близким к  $S_{kp}$  и  $S_2$ , который обеспечил бы минимальные потери основной волны на преобразование в ближайшие паразитные волны  $H_{12}, E_{12}$ . В этой работе потребуем минимума потерь на преобразование в  $H_{12}$ .

Выражение для приведенной амплитуды волны  $H_{12}$ , согласно [3], можно записать следующим образом:

$$P_I = -\frac{\delta}{\sqrt{2(\delta^2+4)}} \int_{L_1}^{L_0} \sqrt{\frac{h_j(z)}{h_m(z)}} \frac{1}{b} \frac{db}{dz} e^{-i \int_{L_1}^z (h_m - h_j) dz} dz, \quad (1)$$

где  $h_m$  и  $h_j$  — постоянные распространения волн —  $H_{10}$  и  $H_{12}$  в волноводе. Введя новую переменную

$$\xi = \frac{\int_{L_1}^z (h_m - h_j) dz}{\int_{L_1}^{L_0} (h_m - h_j) dz} = \frac{1}{\delta} \int_{L_1}^z (h_m - h_j) dz, \quad (2)$$

а также, обозначив

$$-\frac{1}{b} \frac{db}{d\xi} \sqrt{\frac{h_j(\xi)}{h_m(\xi)}} = \frac{dF}{d\xi}, \quad (3)$$

получим для амплитуды следующую формулу:

$$P_I = \frac{\sigma}{\sqrt{2\sigma^2 + 4}} \int_0^1 \frac{dF}{d\xi} e^{-i\sigma\xi} d\xi. \quad (4)$$

Поскольку  $F$  есть функция относительно образующих, то, чтобы рассчитать переход, очевидно, надо найти  $F(\xi)$ , обеспечивающую минимальное значение  $|P_I|$ , т. е. необходимо определить вид  $F(\xi)$ , которая обеспечит  $|P_I|$  меньше  $|P_I|_{\max}$ , любого наперед заданного, при  $\sigma < \sigma_{\min}$ . В качестве такой функции берем функцию, полученную в [4]. При этом  $|P_I| < 0,03$ , а  $\sigma_{\min} = 2,7\pi$ ;

$$F = F(0) \left[ 1 + (q-1) \left( \xi - \frac{0,58}{2\pi} \sin 2\pi\xi - \frac{0,03}{4\pi} \sin 4\pi\xi \right) \right]. \quad (5)$$

С другой стороны, из (3) видно, что

$$\frac{dF}{d\xi} = -\frac{1}{b} \sqrt{\frac{h_j}{h_m}},$$

тогда

$$2F(0) \left[ 1 + (q - 1) \left( \xi - \frac{0.58}{2\pi} \sin 2\pi\xi - \frac{0.03}{4\pi} \sin 4\pi\xi \right) \right] = \\ = \sqrt[4]{1 + \frac{4}{\delta^2}} \ln \frac{\sqrt[4]{1 + \frac{4}{\delta^2} + t}}{\sqrt[4]{1 + \frac{4}{\delta^2} - t}} - \ln \frac{1+t}{1-t} + 2 \operatorname{arctg} \frac{t}{\sqrt[4]{1 + \frac{4}{\delta^2}}} - 2 \operatorname{arctgt}. \quad (6)$$

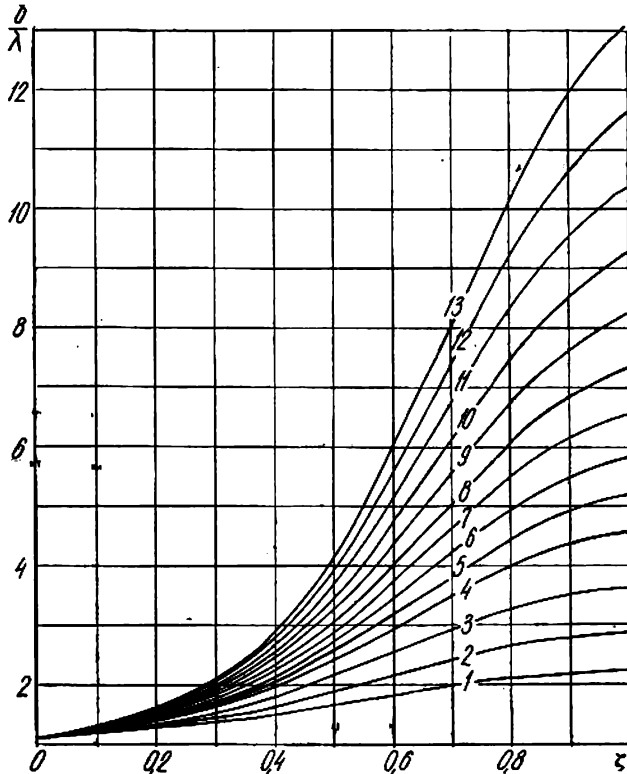


Рис. 2. Зависимость  $b$  от  $\xi$  при  $b(0) = 1,05\lambda$ ,  $\delta = 0,5$ . Кривые 1, 2, 3...14 для  $q = 1,53; 1,84; 2,2; 2,6; 3,1; 3,7; 4,3; 5,1; 6,0; 7,1; 8,4; 9,9; 11,6; 13,7; 16,2$ .

Это выражение в неявной форме определяет требуемую образующую как функцию  $\xi$ , где

$$t = \sqrt[4]{1 - \frac{4}{4b^2 - \delta^2}}.$$

Из (2) получаем связь между  $z/L$  и  $\xi$ , а также между  $L$  и  $\sigma$ :

$$\frac{z}{L} = \frac{\int_0^\xi \left[ \sqrt{1 - \frac{\delta^2}{4b^2(\xi)}} + \sqrt{1 - \frac{4 + \delta^2}{4b^2(\xi)}} \right] b^2(\xi) d\xi}{\int_0^1 \left[ \sqrt{1 - \frac{\delta^2}{4b^2(\xi)}} + \sqrt{1 - \frac{4 + \delta^2}{4b^2(\xi)}} \right] b^2(\xi) d\xi}; \quad (7)$$

$$L = \frac{\sigma_{\min}}{2\pi} \int_0^1 \left[ \sqrt{1 - \frac{\delta^2}{4b^2(\xi)}} - \sqrt{1 - \frac{4 + \delta^2}{4b^2(\xi)}} \right] b^2(\xi) d\xi. \quad \delta = \frac{b}{a} = \text{const.} \quad (8)$$

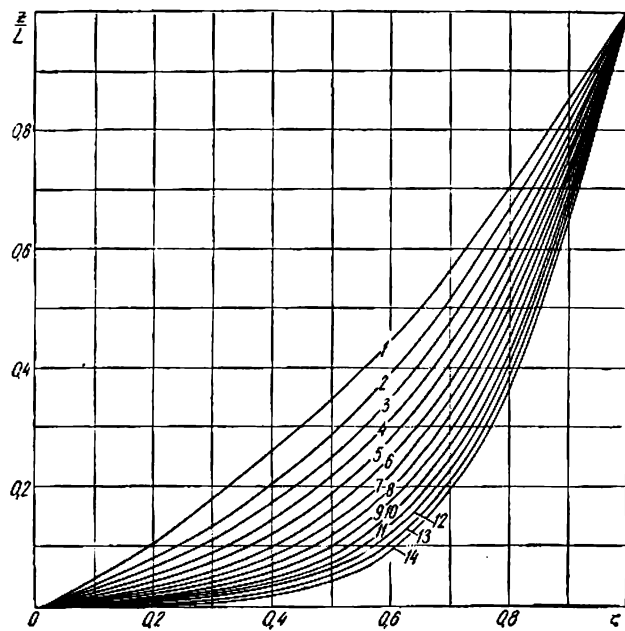


Рис. 3. Зависимость  $\frac{z}{L}$  от  $\zeta$ ,  $\delta = 0,5$ .  
Кривые 1, 2, 3... 14 для  $q = 1,53; 1,84; 2,2; 2,6;$   
 $3,1; 3,7; 4,3; 5,1; 6,0; 7,1; 8,4; 9,9; 11,6; 13,7; 16,2$ .

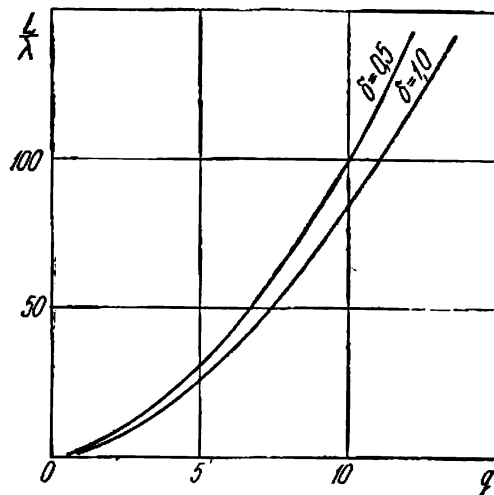


Рис. 4. Зависимость  $L$  от  $q$ ,  $\delta = 0,5; 1,0$ .

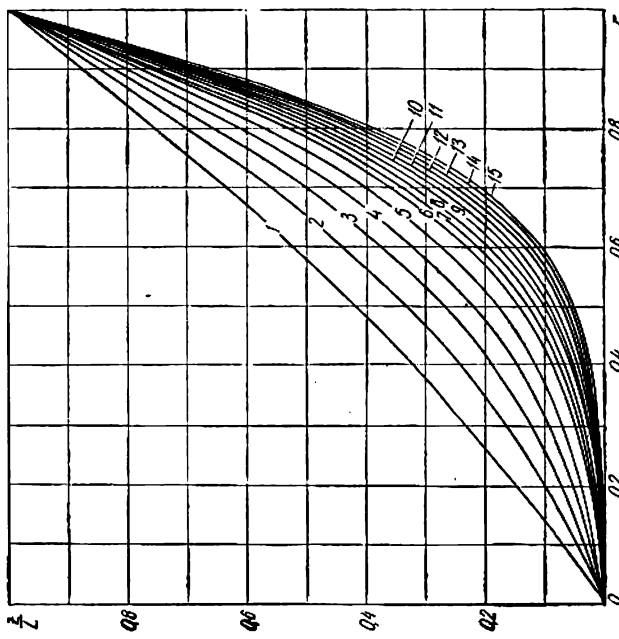


Рис. 6. Зависимость  $\frac{z}{L}^2$  от  $\zeta$ ,  $b = 1,0$ .  
Кривые 1, 2, 3, ..., 16 для  $q = 1,17; 1,53; 1,94; 2,25;$   
 $3,2; 4,0; 4,5; 5,1; 5,7; 6,4; 7,2; 8,1; 9,1; 10,2; 11,4;$

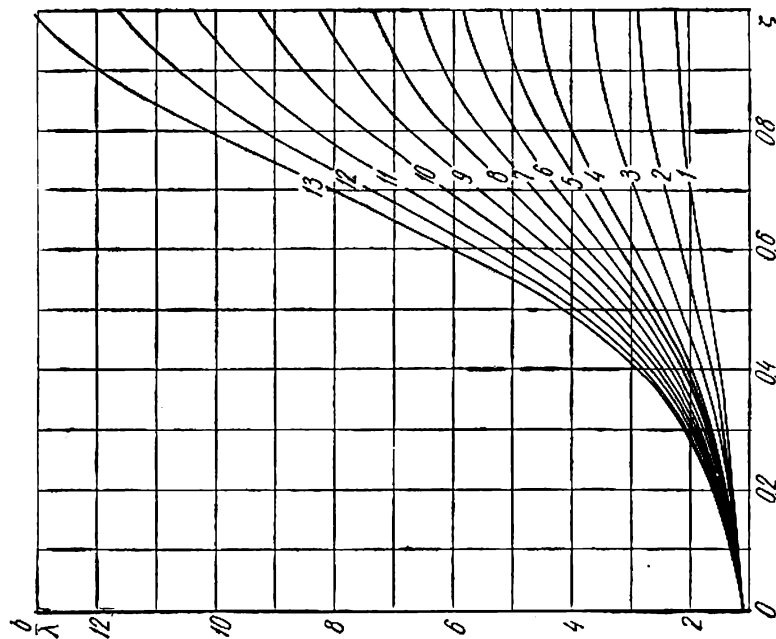


Рис. 5. Зависимость  $b$  от  $\zeta$  при  $b^{(0)} = 1,15$ ,  $b = 1,0$ .  
Кривые 1, 2, 3, ..., 16 для  $q = 1,17; 1,53; 1,94; 2,25;$   
 $3,2; 4,0; 4,5; 5,1; 5,7; 6,4; 7,2; 8,1; 9,1; 10,2; 11,4;$

Таким образом, формулы (6), (7) и (8) позволяют построить образующие плавного многоволнового перехода, обеспечивающего  $|P_1| \leq 0,03$  для  $\sigma \geq 2,7\pi$ , и найти его длину.

По формулам (6), (7) к (8) были рассчитаны семейства кривых зависимостей  $b = f(\xi)$ ,  $\frac{z}{L} = f(\xi)$  и  $L = f(q)$ , позволяющих рассчитать геометрию плавного многоволнового волноводного перехода для большинства практически важных случаев.

На конкретном примере покажем методику расчета геометрии плавного многоволнового волноводного перехода с использованием кривых, приведенных на рисунках 2, 3, 4, 5, 6.

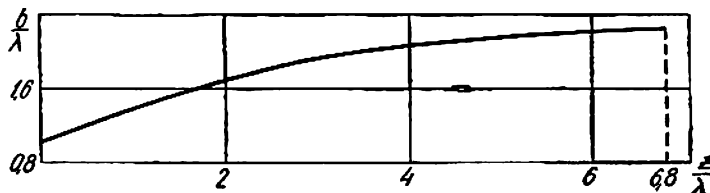


Рис. 7.

Необходимо рассчитать плавный многоволновый переход, обеспечивающий минимальные потери основной волны  $H_{10}$  на преобразование в паразитную волну  $H_{12}$ . Размеры сечения  $S_0 = 2,1\lambda \times 1,05\lambda$ , а сечения  $S_2 = 4,62\lambda \times 2,31\lambda$ . Исходя из заданных размеров определяем  $q = 2,2$ . Из семейства кривых на рис. 2 выбираем кривую  $b(\zeta)$ , соответствующую данному значению  $q$  (если такой кривой нет, то легко видеть, что она может быть построена с помощью кривых для  $q > 2,2$  и  $q < 2,2$ ). Из рис. 3 аналогичным образом находим кривую зависимости для  $\frac{z}{L}$  от  $\zeta$ . Обе кривые позволяют построить  $b = f\left(\frac{z}{L}\right)$ . И, наконец, из рис. 4 находим длину  $L$ , соответствующую нашему  $q = 2,2$ , после чего не представляет труда получить зависимость  $b$  от  $z$ . Вид образующей для рассчитанного перехода показан на рис. 7.

#### ЛИТЕРАТУРА

1. Loredo. Low-loss Transmission in Rectangular waveguide, Brit. Commun and Electron. 1962, 9, 10, 738.
2. А. И. Терещенко, В. В. Должиков. Изв. вузов — «Радиотехника», 1965 8, 1, 48.
3. Б. З. Каценеленбаум. Теория нерегулярных волноводов, М., Изд-во АН СССР, 1961.